Определение экспрессии генов *NKX2-2, STEAP1* и *CCND1* для оценки поражения костного мозга у пациентов с опухолями семейства саркомы юинга

А.Е. Друй^{1,2,3}, Г.А. Цаур^{1,3}, А.М. Попов^{1,3}, А.С. Демина^{1,3}, Т.О. Ригер^{1,3}, С.Н. Тупоногов¹, Е.В. Шориков^{1,3}, Л.И. Савельев^{1,2,3}, С.В. Цвиренко^{1,2}, Л.Г. Фечина^{1,3}

- ¹ ГБУЗ СО Областная детская клиническая больница № 1, г. Екатеринбург
- ² ГОУ ВПО Уральская государственная медицинская академия, г. Екатеринбург

Ключевые слова: опухоли семейства саркомы Юинга, костный мозг, ПЦР в режиме реального времени, NKX2-2

Исследована возможность применения определения экспрессии NKX2-2, STEAP1 и CCND1 методом полимеразной цепной реакции в режиме реального времени для оценки поражения костного мозга (КМ) у пациентов с опухолями семейства саркомы Юинга (СЮ). Экспрессия генов проанализирована в 59 образцах КМ от 6 больных СЮ/ примитивной нейроэктодермальной опухолью с перестройками гена ЕWS, 20 образцах КМ от 5 пациентов без перестроек EWS, 8 образцах KM от 8 пациентов без злокачественных опухолей (контрольная группа), клеточной линии SK-N-MC и 9 образцах аутологичных периферических стволовых клеток пациентов. Образцы КМ расценивались как позитивные в случае выявления экспрессии химерных генов EWS-FLI1, EWS-ERG методом гнездной ПЦР или обнаружения опухолевых клеток в цитологических препаратах. При поведении исследования установлено, что экспрессия гена NKX2-2 не определяется в KM пациентов без злокачественных опухолей, присутствует в 16 из 17 позитивных образцов КМ и отсутствует в 39 из 42 негативных образцов. Экспрессия анализируемых маркеров за исключением STEAP1 оставалась стабильной во время лечения. Проведенный анализ характеристических кривых (ROC-анализ) позволил установить пороговые уровни экспрессии каждого маркера, на основании которых были рассчитаны диагностические характеристики. NKX2-2 имеет высокие показатели прогностической ценности позитивного и негативного результатов (0,889 и 0,976 соответственно) для выявления поражения КМ у пациентов с опухолями семейства СЮ как на момент диагностики, так и в ходе терапии. Диагностическая эффективность маркера составила 0,949. Использование STEAP1 и CCND1 имеет меньшую диагностическую ценность.

Введение

Опухоли семейства саркомы Юинга (саркома Юинга (СЮ), периферическая примитивная нейроэктодермальная опухоль (ПНЭО), опухоль Аскина) представляют собой группу злокачественных новообразований костей, встречающуюся преимущественно у детей и подростков. Клиническое течение заболевания у детей более агрессивное, чем у пациентов старших возрастных групп, при этом 22—38% пациентов имеют отдаленные гематогенные метастазы на момент первичной диагностики опухоли [1]. Наиболее частыми объектами метастазирования являются легкие, кости скелета, костный мозг (КМ). Инициальная диагностика поражения

Адрес для корреспонденции

Друй А.Е.

E-mail: Dr-Drui@yandex.ru

КМ при СЮ/ПНЭО необходима для корректного стадирования заболевания и стратификации пациентов на группы риска [2, 3]. Наличие минимальной метастатической болезни, определяемое в ходе лечения, характеризует неполный ответ опухоли на проводимую терапию, обусловливает развитие рецидивов заболевания и является неблагоприятным прогностическим фактором [4].

Цитологическое исследование аспиратов КМ наиболее широко применяется для выявления поражения КМ при различных злокачественных заболеваниях, в том числе при опухолях семейства СЮ. Однако в рутинной практике чувствительность данного метода редко превышает 1×10^{-2} . Для определения клеток СЮ/ПНЭО в большинстве случаев необходимо использование более чувствительных методов. С этой целью могут быть использованы иммуноцитологическое исследование препаратов КМ и выявление экспрессии специфичных для

³ ГБУЗ СО Институт медицинских клеточных технологий, г. Екатеринбург

клеток опухоли генов с помощью ПЦР. Аналитическая чувствительность при использовании данных методов может достигать $1 \times 10^{-4} - 1 \times 10^{-5}$ [5].

В большинстве случаев опухоли семейства СЮ характеризуются специфическими генетическими перестройками с участием гена EWS, локализующемся на локусе 22q12 [6, 7]. Наиболее частым партнерским геном является ген FLI1 (85%), при этом в результате транслокации t(11:22)(q24:q12) образуется химерный ген *EWS-FLI1*. Второй по частоте вариант перестройки, встречающийся, ориентировочно, в 10% случаев, -t(21:22)(q22:q12) EWS-ERG. Более редкие транслокации t(7:22)(p22:q12), t(17:22) (q12:q12), t(2:22)(q33:q12) с участием генов *ETV1*, E1AF, FEV, соответственно, встречаются не более чем в 5% опухолей [8–10]. Выявление мРНК химерного гена с помощью гнездной полимеразной цепной реакции с обратной транскрипцией (ОТ-ПЦР) является надежным инструментом для выявления клеток СЮ/ПНЭО в КМ пациентов как на момент первичной диагностики, так и в ходе лечения. Наличие химерных транскрипов в КМ больных как локализованными, так и диссеминированными формами СЮ/ПНЭО достоверно снижало показатели общей и бессобытийной выживаемости в соответствующих группах [11]. Однако не во всех случаях опухоль имеет специфические генетические аберрации, кроме того, возможно образование атипичных химерных транскриптов, идентификация которых требует проведения дополнительных исследований, что зачастую невозможно в рутинной работе. Это послужило причиной продолжения поиска диагностической методики, которая наряду с детекцией мРНК химерных генов позволяла бы определять остаточные опухолевые клетки в КМ. При этом, являясь универсальной, она давала бы возможность проводить исследование у больных без выявляемых перестроек гена EWS в первичной опухоли, а также в случае наличия атипичных химерных транскриптов без необходимости их дальнейшей идентификации.

Экспрессия гена, применяемого для выявления клеток СЮ/ПНЭО в КМ, должна отсутствовать в клетках нормального КМ либо величина ее в опухолевых клетках должна быть многократно выше. Для оценки поражения КМ при данных опухолях наиболее оправдано определение экспрессии генов, специфичных для клеток нейроэктодермальной природы.

Сheung с соавторами проанализировали профиль экспрессии генов в 28 образцах СЮ/ПНЭО, а также в 10 образцах клеточных линий, полученных из данных опухолей, и выявили 10 генов (*CCND1*, *PKP1*, *NKX2-2*, *STEAP1*, *TMEM47*, *CSPG5*, *FLRT2*, *MAPT*, *WNT5A* и *FAT4*), которые потенциально могут быть использованы как маркеры поражения КМ. В ходе дальнейшего анализа 35 образцов КМ, негативных по данным световой микроскопии, была выявлена

наибольшая прогностическая значимость выявления экспрессии генов *CCND1, NKX2-2 и STEAP1* как по отдельности, так и в составе диагностической панели маркеров [4].

Ген *CCND1* участвует в регуляции клеточного цикла через инактивацию продукта гена ретинобластомы (Rb), что приводит к переходу клеточного цикла из G1 в S фазу [12]. Кроме того, данный ген участвует в процессах ацетилирования гистоновых белков и ремоделирования хроматина, что реализуется в регуляции процессов клеточного роста, метаболизма и дифференцировки [13, 14]. Данный ген гиперэкспрессирован в клетках различных злокачественных опухолей, включая неходжкинские лимфомы, колоректальный рак, рак предстательной железы [15].

Экспрессия гена *NKX2-2* выявлена в клетках ЦНС в период эмбриогенеза, а также в α- и β-клетках панкреатических островков. Он вовлечен в процесс развития 5-гидрокситриптамин-зависимых нейронов [16], а также принимает участие в регуляции гликемии [17].

Ген *STEAP1* кодирует трансмембранный белоктранспортер, в норме выявляемый в клетках предстательной железы и мочевого пузыря. Экспрессия гена многократно увеличена в клетках рака предстательной железы, рака мочевого пузыря, рака яичников, колоректального рака, а также СЮ [18].

В настоящее время для оценки поражения КМ и выявления остаточных опухолевых клеток с помощью молекулярных маркеров используется выявление химерных транскриптов *EWS-FLI1*, *EWS-ERG* и др., в то время как возможность использования других молекулярных маркеров, в том числе анализа экспрессии опухоль-ассоциированных генов, до конца не выяснена.

Цель исследования — оценить возможность применения определения экспрессии *NKX2-2*, *STEAP1* и *CCND1* для выявления поражения костного мозга у пациентов с опухолями семейства СЮ.

Пациенты и методы исследования

Экспрессия генов *NKX2-2*, *STEAP1* и *CCND1* была исследована в 59 образцах КМ, полученном от 6 пациентов с верифицированным диагнозом СЮ/ ПНЭО и наличием перестроек гена *EWS*, 20 образцах от 5 пациентов без выявленных перестроек *EWS*, 9 образцах препаратов аутологичных стволовых клеток периферической крови пациентов (ПСК). Все пациенты получали терапию в Областной детской клинической больнице № 1 (г. Екатеринбург) в период с 2006 по 2011 год. 27 образцов было взято на момент первичной диагностики, 44 образца – в ходе терапии, 6 – при диагностике рецидива. Для выявления экспрессии исследуемых генов клетками нормального КМ были изучены 8 образцов от 8 пациентов без злокачественных новообразований. В качестве позитивного контроля была использована клеточная линия SK-N-MC, несущая транслокацию t(11:22)(q24:q12) *EWS-FLI1*.

В каждом образце общая РНК была выделена из 2×10⁶ ядросодержащих клеток КМ с использованием TRI-reagent (Molecular Research Center, США) с последующей обработкой ДНКазой I (Fermentas, США). Концентрация выделенной РНК измерялась спектрофотометрически. Реакция обратной транскрипции проводилась с использованием ММLV-обратной транскриптазы (ЦНИИЭ, Россия) и смеси случайных нонамеров (Синтол, Россия). Комплементарная ДНК (кДНК) в количестве, эквивалентном 100 нг РНК, служила матрицей в мультиплексной ПЦР в реальном времени (ПЦР-РВ). В качестве референсного гена был выбран ген АВL. ПЦР-РВ проводилась в конечном объеме 25 мкл с использованием Тад ГДНК-полимеразы (ЦНИИЭ, Россия) в присутствии 3,5 ммоль/мкл сульфата магния и смеси дезоксинуклеотидтрифосфатов (дНТФ, 0,2 ммоль). Конечная концентрация праймеров и флуоресцентных зондов для генов *ABL*, *NKX2-2*, STEAP1 и CCND1 составила 180 нмоль и 120 нмоль соответственно. Дизайн праймеров и флуоресцентных зондов осуществлялся с использованием программы Clone Manager Suite 7.0, нуклеотидные последовательности приведены в табл. 1. Нормализованная величина экспрессии рассчитывалась как разность пороговых циклов гена АВL и гена-маркера $(\triangle Ct = Ct_{ABL} - Ct_{Mapkepa}).$

опухоли и клеток SK-N-MC использовалась для выявления химерных транскриптов *EWS-FLI1* и *EWS-ERG* методом гнездной ПЦР. Концентрация праймеров, используемых для гнездной ПЦР, составила 300 нмоль, концентрации сульфата магния и дНТФ аналогичные, использовавшимся в ПЦР-РВ Нуклеотидные последовательности праймеров для гнездной ПЦР приведены в табл. 2.

Обнаружение химерного транскрипта и/или выявление опухолевых клеток при микроскопии цитологических препаратов было выбрано нами в качестве критерия наличия поражения костного мозга клетками СЮ/ПНЭО.

Для статистической обработки результатов применяли программы «Statistica 6.0» и «Analyse-it». Для сравнения количественных параметров в двух группах применялся критерий Манна-Уитни. Для сравнения качественных параметров использовался критерий χ². Различия считались статистически достоверными при р<0,05. Значимость определения экспрессии исследуемых генов была проанализирована методом характеристических кривых (receiver operator characteristic, ROC-кривых) [20, 21]. Площади под кривыми (ППК) сравнивали по методу E. DeLong и соавторов [22]. Также определяли пороговые уровни (ПУ) показателей, характеризующиеся наибольшей диагностической эффективностью при разделении образцов, содержащих и не содержащих опухолевые клетки. С учетом пороговых уровней

Таблица 1. Нуклеотидные последовательности праймеров и флуоресцентных зондов для ПЦР-РВ

Ген	Прямой праймер	Обратный праймер	Зонд
NKX2-2	tac-gac-agc-agc-gac-aac	ctt-gga-gct-tga-gtc-ctg-ag	Cy5-agc-acc-gag-ggc-ctt-cag-ta-BHQ2
STEAP1	gag-gcg-atc-cta-cag-ata-caa-g	aga-tgt-cac-agc-caa-cag-ag	R6G-tgg-gca-tat-caa-cag-gtc-ca-BHQ1
CCND1	aga-tca-tcc-gca-aac-acg	cgg-gtc-aca-ctt-gat-cac	ROX-acc-ttc-gtt-gcc-ctc-tgt-gc-BHQ2
ABL [19]	agc-tcc-ggg-tct-tag-gct-at	tag-ttg-ctt-ggg-acc-cag-cc	FAM-cca-ttt-ttg-gtt-tgg-gct-tca-cac-cat-t-BHQ1

Таблица 2. Нуклеотидные последовательности праймеров для гнездной ПЦР

Ген	Этап	Прямой праймер	Обратный праймер	
EU/C EL L1	ПЦР1	act-ccc-cgt-tgg-tcc-cct-cc	tcc-tac-agc-caa-gct-cca-agt-c	
EWS-FLI1	ПЦР2	cag-gtg-ata-cag-ctg-gcg	cca-aca-gag-cag-cag-cta-c	
ELIZ EDC	ПЦР1	act-ccc-cgt-tgg-tgc-ctt-cc	tcc-tac-agc-caa-gct-cca-agt-c	
EWS-ERG	ПЦР2	cag-gtg-atg-cag-ctg-gag	cca-aca-gag-cag-cag-cta-c	

Аналитическая чувствительность методики оценивалась с использованием 10-кратных разведений РНК, выделенной из клеток линии SK-N-MC, а также смеси РНК из ткани опухоли 10 пациентов с верифицированным диагнозом СЮ/ПНЭО. С этой целью РНК разводили в смеси РНК ядросодержащих клеток, выделенных из периферической крови 5 здоровых доноров.

Образцы КМ исследовали цитологически с окрашиванием препаратов по методу Романовского—Гимзе. Кроме того, кДНК из КМ, ткани

для каждого теста рассчитывали диагностическую чувствительность, специфичность, прогностическую ценность положительного и отрицательного результатов, а также общую диагностическую эффективность теста [23, 24].

Результаты исследования

Матричная РНК генов *NKX2-2*, *STEAP1* и *CCND1* была выявлена во всех образцах клеточной линии SK-N-MC. При анализе серийных разведений РНК, выделенной из клеток SK-N-MC, а также смеси

РНК, выделенной из 10 образцов ткани опухоли, в РНК из лейкоцитов периферической крови здоровых доноров, аналитическая чувствительность определения всех исследованных маркеров и выявления химерного транскрипта EWS-FLI1 достигала 1×10^{-6} .

Ни в одном из 8 образцов КМ пациентов без злокачественных опухолей экспрессия *NKX2-2* не была выявлена. Матричная РНК *CCND1* и *STEAP1* была обнаружена во всех образцах.

Среди исследованных 59 образцов КМ больных с наличием перестроек гена EWS 17 (28,8%) соответствовали хотя бы одному из выбранных критериев позитивности. Из них 8 было взято на момент диагностики и 9 — во время терапии. Количество позитивных образцов, экспрессирующих исследуемые маркеры, представлено в табл. 3.

Таблица 3. Количество позитивных образцов, экспрессирующих исследуемые маркеры

	NKX2-2	STEAP1	CCND1
Перед началом терапии	7	8	8
В ходе терапии	9	9	9
Наличие экспрессии	16	17	17
Отсутствие экспрессии	1	0	0

Экспрессию исследуемых генов в позитивных образцах сравнивали с таковой в негативных, а также в образцах пациентов контрольной группы. Результаты качественного сравнения представлены в табл. 4.

Таблица 4. Количество образцов, экспрессирующих исследуемые маркеры

	NKX2-2	STEAP1	CCND1
Позитивные образцы	16/17	17/17	17/17
Негативные образцы	3/42	42/42	42/42
Контрольная группа	0/8	8/8	8/8
p	<0,01	1,00	1,00

Таким образом, экспрессия гена NKX2-2 в позитивных образцах определялась достоверно чаще, чем в негативных и контрольных, тогда как частота обнаружения экспрессии CCND1 и STEAP1 в позитивных, негативных и контрольных образцах достоверно не отличалась. Различий в частоте выявления экспрессии NKX2-2, CCND1 и STEAP1 между негативными и контрольными образцами также выявлено не было (p=0,70, p=0,79 и p=0,79 соответственно).

Количественно сравнивали образцы, в которых была выявлена экспрессия исследуемых маркеров (рис. 1). Было выявлено, что величина экспрессии NKX2-2 в позитивных и негативных образцах достоверно не различается (p=0,95). Экспрессия STEAP1 в позитивных образцах была достоверно выше, чем в негативных и в контрольных (p<0,01 и p=0,01 соответственно), тогда как в двух последних группах достоверно не различалась (p=0,96). Нормализованная величина экспрессии гена CCND1 в позитивных образцах была выше, чем в негативных (p<0,01), но не отличалась от величины в контрольной группе (p=0,07).

Для определения изменений экспрессии маркеров во время терапии сравнивали экспрессию NKX2-2, STEAP1 и CCND1 в образцах, взятых на момент первичной диагностики, и образцах, полученных во время терапии (рис. 2.). Экспрессия NKX2-2 и CCND1 во время лечения оставалась стабильной (p=0,16 и p=0,13 соответственно), тогда как экспрессия STEAP1 в ходе терапии достоверно снижалась (p=0,01).

Так как мРНК части исследуемых маркеров была выявлена в негативных образцах и образцах пациентов контрольной группы, для определения порогового значения величины экспрессии генов NKX2-2, STEAP1 и CCND1 был проведен ROC-анализ. ROC-кривые представлены на рис. 3.

Выявлено, что все исследованные маркеры обладают статистически значимой диагностической ценностью при разделении позитивных и негативных образцов (во всех случаях p<0,001). Результаты сравнения ROC-кривых представлены в табл. 5.

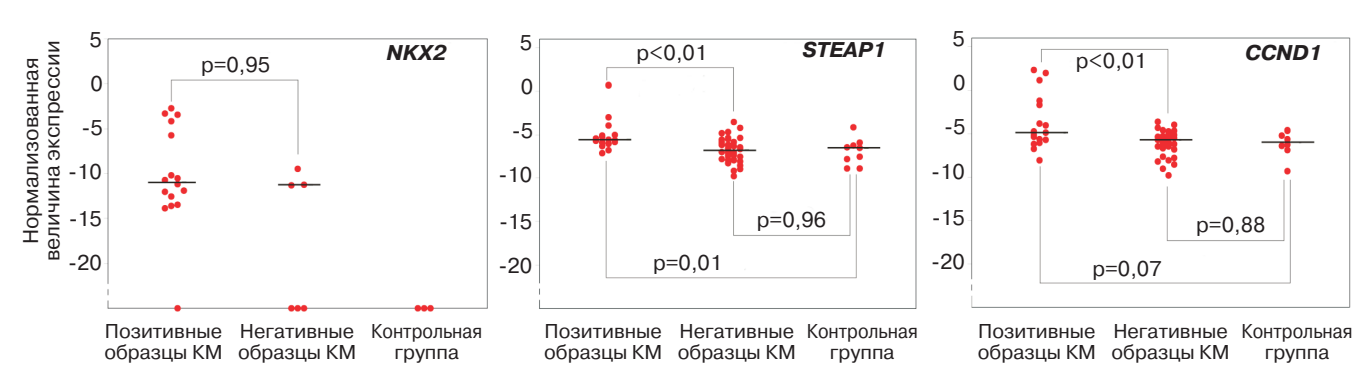


Рис. 1. Нормализованная величина экспрессии исследуемых маркеров (горизонтальная линия соответствует медиане) в позитивных и негативных образцах КМ больных СЮ/ПНЭО, а также образцах КМ пациентов без злокачественных опухолей (контрольная группа)

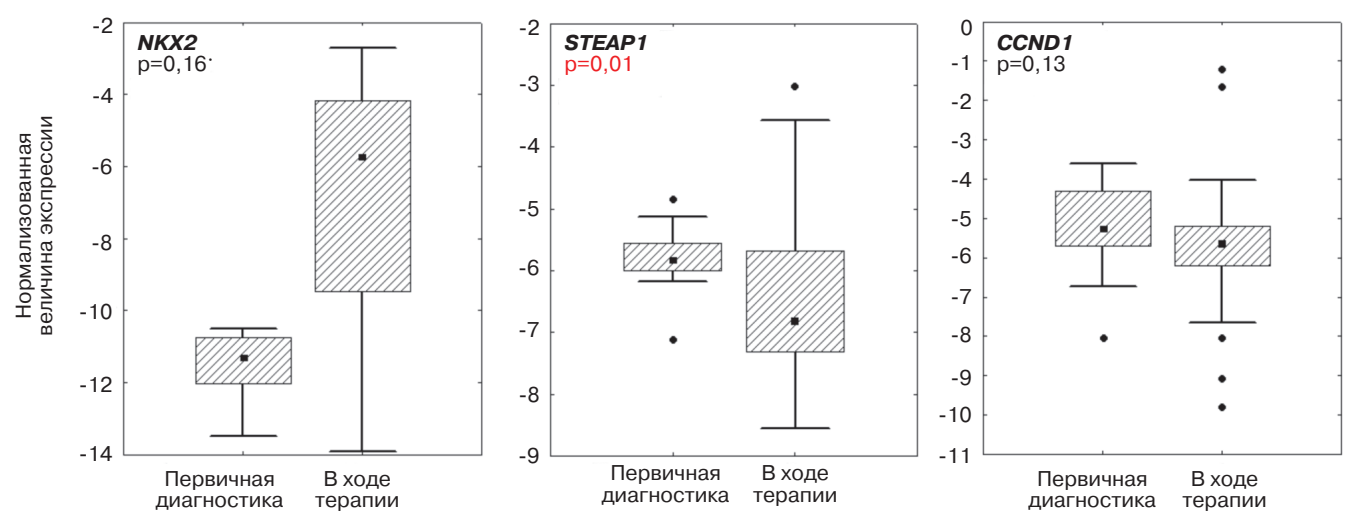


Рис. 2. Сравнение нормализованной величины экспрессии исследуемых маркеров в позитивных образцах КМ больных СЮ/ПНЭО на этапе первичной диагностики и в ходе терапии

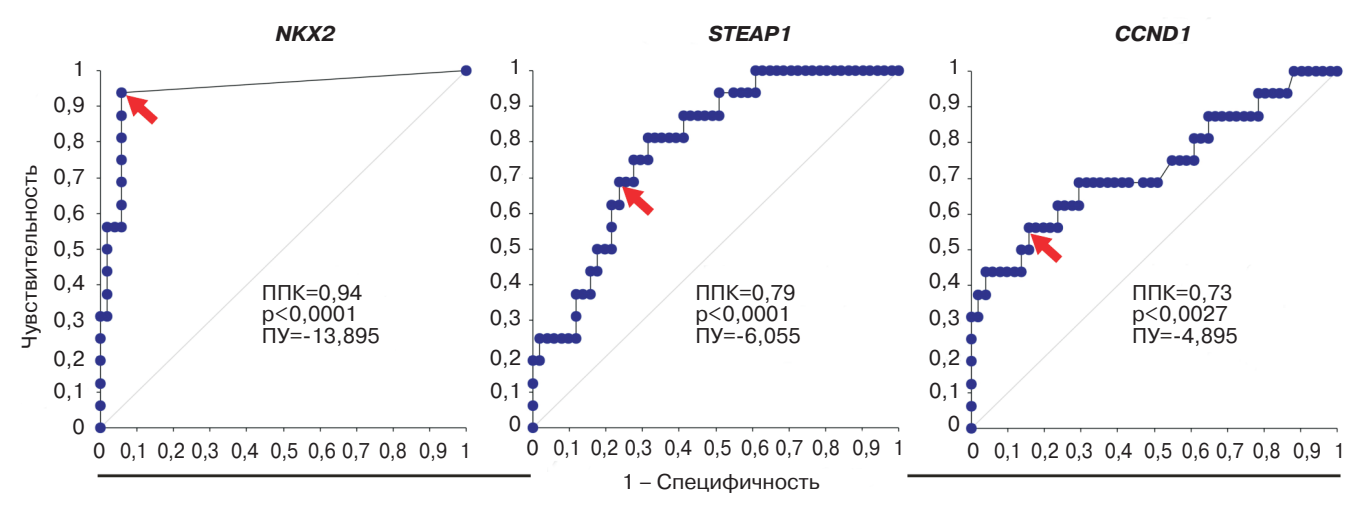


Рис. 3. ROC-кривые экспрессии генов NKX2-2, STEAP1 и CCND1, пороговый уровень обозначен стрелкой

Таблица 5. Результаты сравнения ROC-кривых

	<i>NKX2-2</i> (ППК=0,94)	<i>STEAP1</i> (ППК=0,79)	
<i>STEAP1</i> (ΠΠΚ=0,79)	p=0,012	_	
<i>CCND1</i> (ППК=0,73)	p=0,003	p=0,401	

На основании анализа ROC-кривых были определены ПУ экспрессии, которые для *NKX2-2*, *STEAP1* и *CCND1* составили –13,895; –6,055; –4,895 соответственно. В табл. 6 представлены результаты исследования экспрессии исследованных генов в позитивных и негативных образцах больных СЮ/ПНЭО.

В двух цитологически-негативных образцах КМ, полученных от одного пациента в момент диагностики рецидива ПНЭО, при исследовании мРНК химерных генов был выявлен атипичный транскрипт EWS-ERG (рис. 4). Определение нуклеотидной последовательности ПЦР-продукта позволило идентифицировать составные части химерного гена: EWS экзон 9 — ERG экзон 7, тогда как наиболее частый вариант транскрипта EWS экзон 7 — ERG экзон 6. В обоих случаях была выявлена экспрессия гена NKX2-2, превосходящая пороговый уровень.

Во всех 20 образцах КМ больных, у которых в материале первичной опухоли перестройки гена

Таблица 6. Результаты определения экспрессии генов-маркеров в позитивных и негативных образцах KM больных CЮ/ПНЭО

	NKX2-2		STEAP1		CCND1	
	Выше ПУ	Ниже ПУ	Выше ПУ	Ниже ПУ	Выше ПУ	Ниже ПУ
Позитивные образцы	16	0	13	4	9	8
Негативные образцы	3	0	14	28	6	36

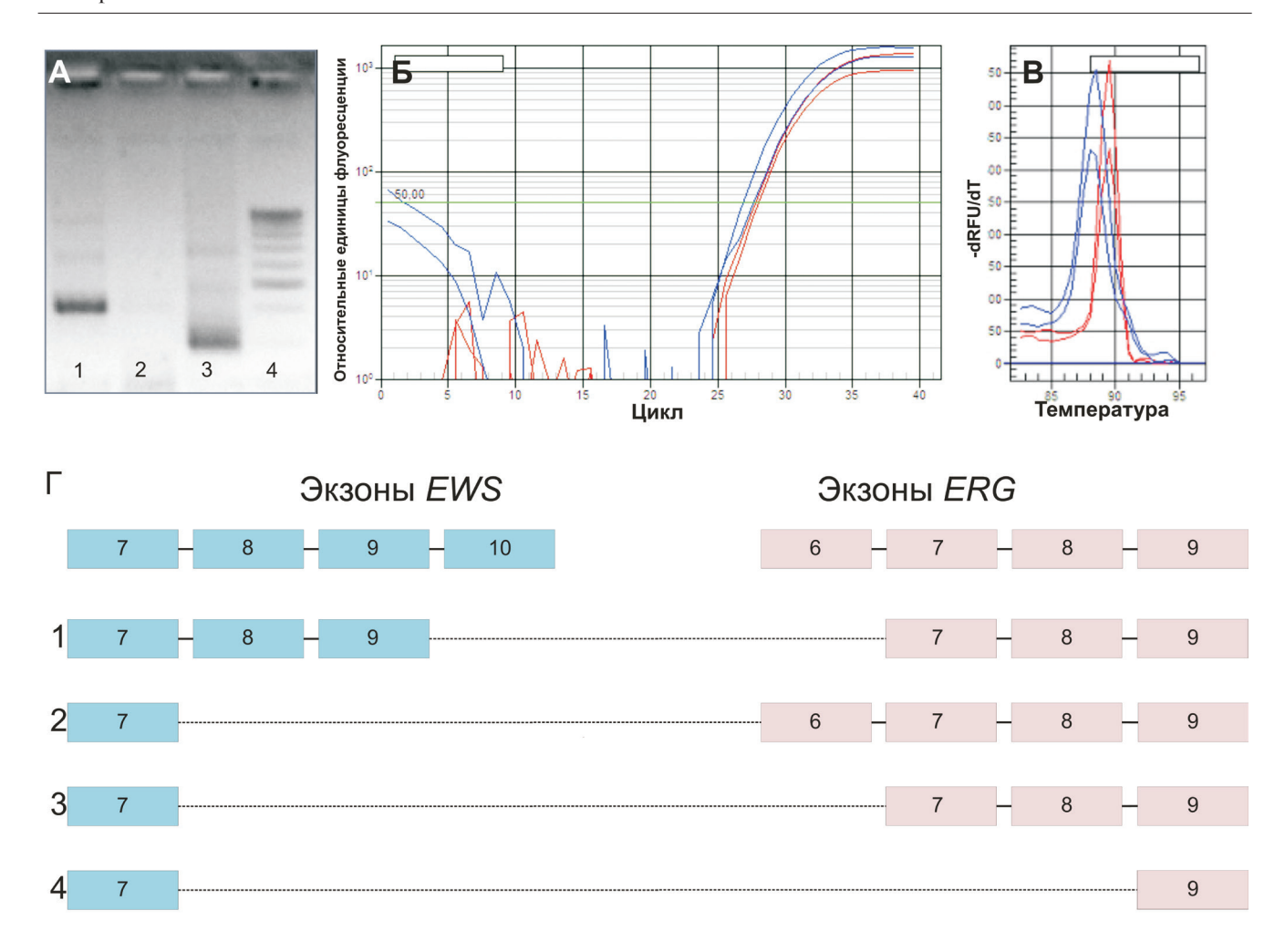


Рисунок 4. Способы выявления и механизм образования химерных транскриптов EWS-ERG.

а. Выявление химерных транскриптов методом гнездной $\Pi \coprod P$: 1 – атипичный вариант химерного гена EWS (экзон 9) — ERG (экзон 7); 2 – отрицательный контроль; 3 – наиболее частый вариант химерного гена EWS (экзон 7) — ERG (экзон 6); 4 – маркер молекулярной массы; 6. Выявление химерных транскриптов методом $\Pi \coprod P$ -PB в присутствии интеркалирующего красителя SYBRgreen (Синтол, Россия): красные кривые соответствуют химерному гену EWS (экзон 7) — ERG (экзон 6), синие — EWS (экзон 7); в. Кривые плавления $\Pi \coprod P$ продуктов, соответствующих различным вариантам химерного гена EWS-ERG: красные кривые соответствуют химерному гену EWS (экзон 7) — ERG (экзон 6), температура плавления 89,5 °C, синие — EWS (экзон 9) — ERG (экзон 7), температура плавления 88,0 °C; г. Механизм образования различных вариантов химерного гена EWS-ERG: 1 — атипичный вариант химерного гена EWS (экзон 9) — ERG (экзон 7); 2, 3, 4 — описанные в литературе варианты EWS (экзон 7) — ERG (экзон 6), EWS (экзон 7) — ERG (экзон 7) — ERG (экзон 7) — ERG (экзон 9) соответственно [25]

EWS не были выявлены, при цитологическом исследовании опухолевые клетки отсутствовали, что не позволило включить данные образцы в группу, по результатам которойделался вывод одиагностической ценности исследуемых генов-маркеров. В двух из 20 образцов была выявлена экспрессия гена NKX2-2, превышающая ПУ, в остальных образцах экспрессия NKX2-2 отсутствовала. Матричная РНК генов STEAP1 и CCND1 определялась во всех образцах, однако только в одном из них нормализованная величина экспрессии данных генов была выше соответствующего ПУ.

Учитывая пороговые значения экспрессии анализируемых генов-маркеров, были рассчитаны

критерии диагностической значимости данных тестов, представленные в табл. 7.

Принимая во внимание высокие значения критериев диагностической значимости выявления мРНК гена *NKX2-2* в КМ, была проанализирована экспрессия данного гена в 9 образцах аутологичных ПСК с целью возможного выявления контаминации трансплантата опухолевыми клетками. Независимо от наличия или отсутствия иммуномагнитной CD34⁺ селекции, экспрессия *NKX2-2* не была выявлена ни в одном случае.

Обсуждение

Выявление в KM больных опухолями семейства CЮ экспрессии генов *NKX2-2*, *STEAP1* и *CCND1*,

Таблица 7. Критерии оценки диагностической информативности определения генов-маркеров для выявления поражения КМ при СЮ/ПНЭО

Ген-маркер	ПЦПР	ПЦОР	ДЧ	Сп	ДЭТ
NKX2-2	0,889	0,976	0,941	0,952	0,949
STEAP1	0,483	0,900	0,824	0,643	0,695
CCND1	0,588	0,833	0,588	0,833	0,763

Примечание: ПЦПР — прогностическая ценность положительного результата, ПЦОР — прогностическая ценность отрицательного результата, ДЧ — диагностическая чувствительность, Сп — специфичность, ДЭТ — диагностическая эффективность теста

по данным литературы, является надежным маркером поражения КМ и ассоциировано с достоверно более низкими показателями общей выживаемости больных и выживаемости без метастазирования. При этом данная зависимость показана как для индивидуального использования каждого маркера, так и для диагностической панели, включающей все три вышеупомянутых гена [4]. В нашем исследовании сходные результаты были получены только для гена *NKX2-2*: его экспрессия отсутствовала во всех образцах КМ пациентов без злокачественных опухолей, тогда как в клеточной линии SK-N-MC была высокой. Матричная РНК генов STEAP1 и CCND1 была выявлена во всех проанализированных образцах КМ, включая образцы контрольной группы. Аналитическая чувствительность определения экспрессии генов *NKX2-2*, *STEAP1* и *CCND1* составила 1×10^{-6} , что соответствует чувствительности метода выявления химерного транскрипта и значительно превышает предел чувствительности цитологического исследования.

Выбор в качестве критериев позитивности образцов КМ данных цитологического исследования и гнездной ПЦР позволил сравнить диагностическую информативность каждого исследуемого маркера. Экспрессия гена *NKX2-2* была выявлена в большинстве позитивных образцов КМ больных СЮ/ПНЭО и только в 2 негативных. NKX2-2 показал высокие значения всех критериев оценки диагностической эффективности исследования. При сравнении ROCкривых было выявлено, что диагностическая эффективность *NKX2-2* значительно превосходит *STEAP1* и CCND1. В двух образцах КМ больного ПНЭО с атипичным химерным транскриптом EWS-ERG, а также в двух образцах КМ больных без перестроек EWS была обнаружена экспрессия NKX2-2. В подобных случаях, когда использование надежного метода выявления поражения КМ – выявления химерных генов - оказывается невозможным, использование молекулярных маркеров, основанных на определении экспрессии генов, специфичных для опухоли, может оказать неоценимую помощь.

В рамках настоящей работы было показано, что гены *STEAP1* и *CCND1* в высокой степени экспрессированы как в клетках опухоли, так и в нормальных гемопоэтических клетках. В результате критерии диа-

гностической информативности данных маркеров низки, и их использование для диагностики поражения КМ при СЮ/ПНЭО, а также для мониторинга минимальной метастатической болезни нецелесообразно. Кроме того, было отмечено, что экспрессия гена *STEAP1* в процессе терапии снижается.

Объединение исследованных маркеров в диагностическую панель, как было предложено Cheung и соавторами, на наш взгляд, неоправданно, поскольку только ген *NKX2-2* обладает высокими диагностическими характеристиками и позволяет достоверно выявлять опухолевые клетки в КМ. Вероятно, *NKX2-2* может быть применен для контроля чистоты препаратов ПСК для аутологичной трансплантации. Однако подтвердить это в работе не удалось вследствие малого количества исследованных образцов ПСК и/или отсутствия экспрессии в них анализируемого гена.

Выводы

- 1. Для выявления поражения КМ при опухолях семейства СЮ использование гена *NKX2-2* обладает высокой диагностической эффективностью, не уступающей выявлению химерных транскриптов методом гнездной ПЦР.
- 2. Данный маркер может быть применен для оценки поражения KM у больных без выявленных перестроек гена EWS, а также с наличием атипичных химерных генов.
- 3. Экспрессия *NKX2-2* остается стабильной в ходе терапии СЮ/ПНЭО.
- 4. *STEAP1* и *CCND1* обладают значительно меньшей диагностической эффективностью, и поэтому их применение для выявления поражения КМ вряд ли целесообразно.

ЛИТЕРАТУРА

- 1. Иванова Н.М. Саркома Юинга. В кн.: «Клинические лекции по детской онкологии». Под ред. Л.А. Дурнова. М., «Медицинское информационное агентство». 2004, с. 251-270.
- 2. Peter M., Magdelenat H., Michon J. et al. Sensitive detection of occult Ewing's cells by the reverse-transcriptase polymerase chain reaction. Br. J. Cancer. 1995, No. 72, p. 96-100.
- 3. Zoubek A., Ladenstein R., Windhager R. et al. Predictive potential of testing for bone marrow involvement in Ewing

- tumor patients by RT-PCR: A preliminary evaluation. Int. J. Cancer. 1998, No. 79, p. 56-60.
- Cheung I., Feng Y., Danis K. et al. Novel Markers of Subclinical Disease for Ewing Family Tumors from Gene Expression Profiling. Clin. Cancer Res. 2007, No. 13 (23), p. 6978-6983.
- Cheung I.Y., Cheung N.K.V. Quantification of marrow disease in neuroblastoma by real-time reverse transcription-PCR. Clin. Cancer Res. 2001, No. 7, p. 1698-1705.
- Aurias A., Rimbaut A., Buffe D. et al. Chromosomal translocation in Ewing's sarcoma. N. Engl. J. Med. 1983, No. 309, p. 496-497.
- Turc-Carel C., Philip I., Berger M.P. et al. Chromosomal translocations in Ewing's sarcoma. N. Engl. J. Med. 1983, No. 309, p. 497-498.
- 8. Sorensen P.H., Lessnick S.L., Lopez-Terrada D. et al. A second Ewing's sarcoma translocation, t(21;22), fuses the EWS gene to another ETS-family transcription factor, ERG. Nat. Genet. 1994, No. 6, p. 146-151.
- 9. Jeon I.S., Davis J.N., Braun B.S. et al. A variant Ewing's sarcoma translocation (7;22) fuses the EWS gene to the ETS gene ETV1. Oncogene. 1995, No. 10, p. 1229-1234.
- 10. Kaneko Y., Yoshida K., Handa M. et al. Fusion of an ETS-family gene, E1AF, to EWS by t(17;22)(q12;q12) chromosome translocation in an undifferentiated sarcoma of infancy. Genes Chromosom Cancer. 1996, No. 15, p. 115-121.
- Schleiermacher G., Peter M., Oberlin O. et al. Increased Risk of Systemic Relapses Associated With Bone Marrow Micrometastasis and Circulating Tumor Cells in Localized Ewing Tumor. J. Clin. Oncol. 2003, No. 21, p. 85-91.
- 12. Muller H., Lukas, J., Schneider, A. et al. Cyclin D1 expression is regulated by the retinoblastoma protein. Proc. Nat. Acad. Sci. 1994, No. 91, p. 2945-2949.
- Toyoda M., Shirato H., Nakajima K. et al. Jumonji downregulates cardiac cell proliferation by repressing cyclin D1 expression. Dev. Cell. 2003, No. 5, p. 85-97.

- 14. Brisken C., Ayyannan A., Nguyen C. et al. IGF-2 is a mediator of prolactin-induced morphogenesis in the breast. Dev. Cell. 2002, No. 3, p. 877-887.
- 15. Fu M., Wang C., Li Z. et al. Cyclin D1: normal and abnormal functions. Endocrinology. 2004, No. 145, p. 5439-5447.
 16. Ding Y.Q., Marklund U., Yuan W. et al. Lmx1b is essential for
- Ding Y.Q., Marklund U., Yuan W. et al. Lmx1b is essential for the development of serotonergic neurons. Nature Neurosci. 2003, No. 6, p. 933-938.
- 17. Sussel L., Kalamaras J., Hartigan-O'Connor D.J. et al. Mice lacking the homeodomain transcription factor Nkx2.2 have diabetes due to arrested differentiation of pancreatic beta cells. Development. 1998, No. 125, p. 2213-2221.
- 18. Hubert R.S., Vivanco I., Chen, E. et al. STEAP: a prostate-specific cell-surface antigen highly expressed in human prostate tumors. Proc. Nat. Acad. Sci. 1999, No. 96, p. 14523-14528.
- Мисюрин А.В., Аксенова Е.В., Крутов А.А. и соавт. Молекулярная диагностика хронического миелолейкоза. Гематология и трансфузиология. 2007, № 2, с. 35-40.
- Zweig M.H., Campbell G. Receiver-operating characteristic (ROC) plots: a fundamental evaluation tool in clinical medicine. Clin. Chem. 1993, No. 31, p. 561-577.
- Obuchowski N.A. ROC analysis. Am. J. Roentgenol. 2005, No. 184, p. 364-372.
- DeLong É.R., DeLong D.M., Clarke-Pearson D.L. Comparing the areas under two or more correlated receiver operating characteristic curves: a nonparametric approach. Biometrics. 1988, v. 44, p. 837-845.
- 23. Weinstein S., Obuchowski N.A., Lieber M.L. Clinical evaluation of diagnostic tests. Am. J. Roentgenol. 2005, No. 184, p. 14-19.
- Jarvik J.G. The research framework. Am. J. Roentgenol. 2001, v. 176, p. 873-877.
- Kojima T., Asami S., Chin M. et al. Detection of Chimeric Genes in Ewing's Sarcoma and Its Clinical Applications. Biol. Pharm. Bull. 2002, No. 25 (8), p. 991-994.

Статья поступила 30.09.2012 г., принята к печати 20.10.2012 г. Рекомендована к публикации А.А. Феденко

APPLICATION OF NKX2-2, STEAP1 AND CCND1 GENES EXPRESSION FOR BONE MARROW INVOLVEMENT DETECTION IN PATIENTS WITH EWING FAMILY TUMORS

Druy A.E.^{1,2,3}, Tsaur G.A.^{1,3}, Popov A.M.^{1,3}, Demina A.S.^{1,3}, Riger T.O.^{1,3}, Tuponogov S.N.¹, Shorikov E.V.^{1,3}, Saveliev L.I.^{1,2,3}, Tsvirenko S.V.^{1,2}, Fechina L.G.^{1,3}

- ¹ Regional Children's Hospital N1. Ekaterinburg, Russia
- ² Ural State Medical Academy, Ekaterinburg, Russia
- ³ Institute of Medical Cell Technologies, Ekaterinburg, Russia

Key words: Ewing family tumors, bone marrow, real-time quantitative PCR, NKX2-2

We estimated the applicability of *NKX2-2*, *STEAP1* and *CCND1* genes expression evaluation by real-time PCR for bone marrow (BM) involvement detection in Ewing family tumors (EFT) patients. Expression of molecular markers were analyzed in 59 BM samples from 6 EFT patients with *EWS* gene rearrangements, in 20 BM samples from 5 patients without detected rearrangements, in 8 BM samples from 8 patients without malignancies, in SK-N-MC cell line and in 9 samples of the peripheral blood stem cells. BM samples were considered true positive in case of *EWS-FLI1* or *EWS-ERG* fusion gene transcript presence or tumor cells in BM smears. *NKX2-2* expression was not revealed in normal BM while was present in positive BM samples and was not found in the majority of negative BM samples. Expression of *NKX2-2* and *CCND1* remained stable during EFT treatment, while *STEAP1* expression was downmodulated. ROC-analysis revealed threshold levels of expression for each marker which were used for diagnostic values calculation. *NKX2-2* demonstrated high positive and negative predictive values (0,889 µ 0,976 respectively) for EFT marrow disease detection and monitoring. Overall correct prediction value achieved 0,949. *STEAP1* and *CCND1* assessment was not relevant for BM disease monitoring in EFT patients.